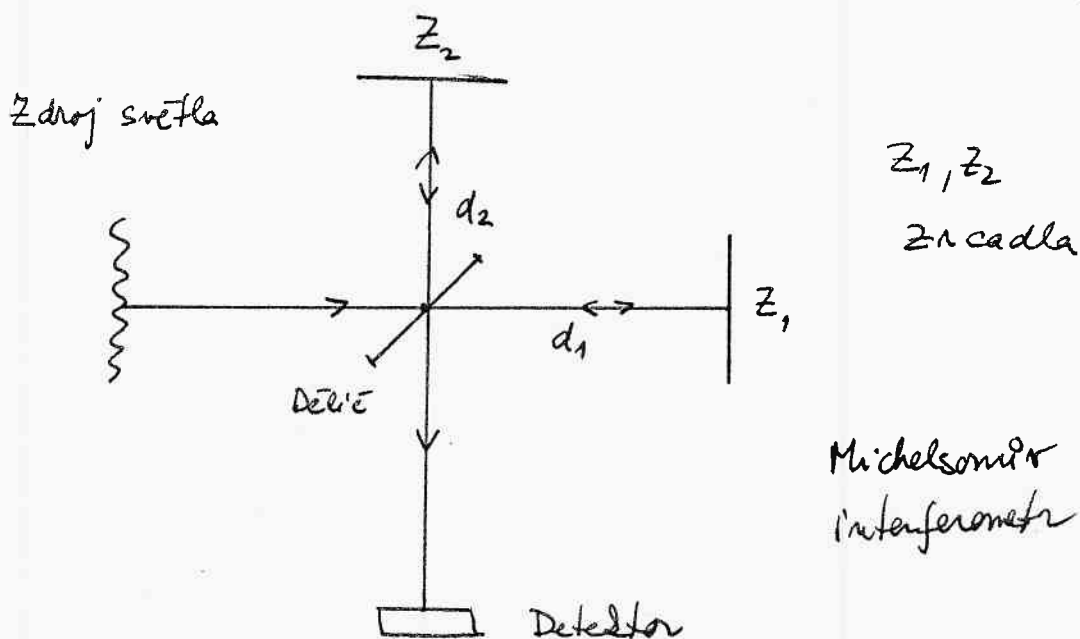


Interferometry

z dosahodných odvození je zřejmé, že interferenční obrazce jsou silně závislé na řadě parametrů, které určují podmínky pro vznik interferenčních maxim a minim. (různá délka světla, úhel dopadu světelné vlny na optický prvek, tloušťka optického prvku) Zářičem, které studuje vlastnosti světla na základě jeho interference se nazývá interferometr.

Jedou z nejnámějších interferometrů je IF Michelsonův. V interferometru se světlo rozdělí na dvě části na 2 směrky stejné intenzity, které postupují ve 2 navzájem kolmých ramenech s různou délkou. Po odrazu na zrcadlech a opětovném průchodu děličem interferují v detektorovém prostoru.

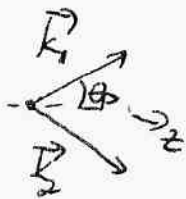


Při průchodu interferometrem vzniká dráhový rozdíl $2(d_1 - d_2)$. Ten je řídicím parametrem pro vznik interference. V prostoru detektoru vzniká při IF vlna s intenzitou $I = 4I_0 \cos^2 \frac{\delta}{2}$. To vyplývá

z již odvozených vztahů pro IF 2 rovinných vln s \parallel vlnovými vektory postupujících stejným směrem

$$I = 4I_0 \cos^2 \left(k_x x + \frac{\delta}{2} \right) \quad k_x = k \sin \theta_p$$

$$I \sim (1 + \cos(2k_x x + \delta))$$



$$|k_1| = |k_2|, \quad \theta = 0 \Rightarrow k_x = 0$$

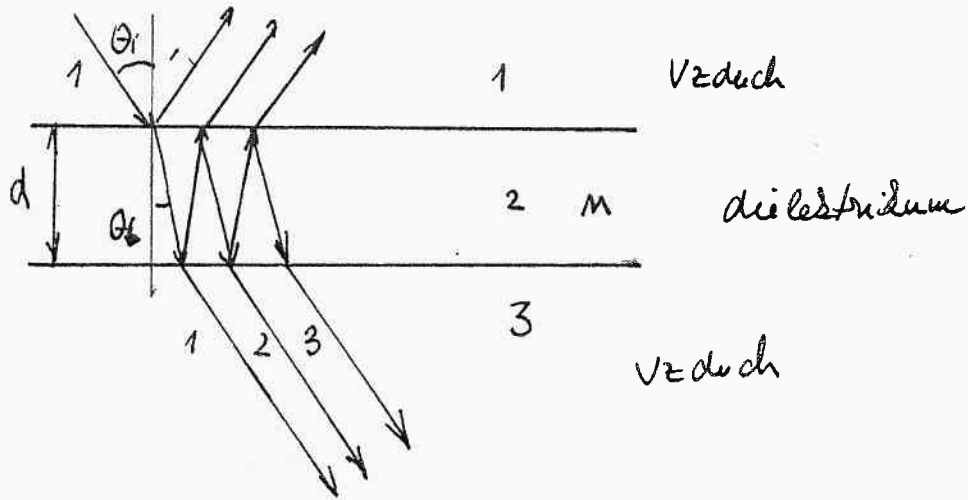
$$\delta = 2k(d_1 - d_2)$$

Tj. v celém prostoru detektoru je při daném nastavení délky ramene konstantní intenzita záření závislá na dráhovém rozdílě. Nijsem vidět žádné interferenční obrazce.

Pokud se jedná ze zrcadel sklensí, objeví se na stínítku konstanta \parallel světlych a tmavých proužků (interference na virtuálním klínu - proužky stejné tloušťky)

Mnohosvrstková interference

Předpoklad - interference mnoha rovinných vln se stejnými \vec{k}_i , fázové rozdíly $\varphi_{i+1} - \varphi_i$ jsou konstantní



$$1) \tilde{E}_t^{(1)} = t_{12} t_{23} \tilde{E}_i e^{i\delta_0} \quad \tilde{E}_i = E_{0i} e^{i(\vec{k}_i \cdot \vec{r} - \omega t + \delta_0)}$$

$$2) \tilde{E}_t^{(2)} = t_{12} r_{23} \cdot r_{21} \cdot t_{23} \tilde{E}_i e^{i\delta_0} e^{i\delta}$$

$$3) \tilde{E}_t^{(3)} = t_{12} (r_{23} \cdot r_{21})^2 t_{23} \tilde{E}_i e^{i\delta_0} e^{i2\delta}$$

$$\delta_0 = k \cdot \frac{d}{\cos \theta_t} \quad \delta = 2 \cdot 2d \cos \theta_t = 2n \cdot 2d \cos \theta_t$$

atd

$$r_{12} = -r_{21} \quad r_{23} = r_{21} = r \rightarrow r_{12} = -r$$

(platí pro \perp i \parallel polarizaci) (vzduch / dielektrikum)

$$t_{12}^{\perp} = r_{12}^{\perp} + 1 = 1 - r \quad t_{23}^{\perp} = 1 + r_{23}^{\perp} = 1 + r$$

$$t_{12}^{\parallel} = (r_{12}^{\parallel} + 1) \cdot \frac{\cos \theta_i}{\cos \theta_t} = (1 - r) \cdot \frac{\cos \theta_i}{\cos \theta_t}$$

$$t_{23}^{\parallel} = (1 + r_{23}^{\parallel}) \cdot \frac{\cos \theta_t}{\cos \theta_i} = (1 + r) \cdot \frac{\cos \theta_t}{\cos \theta_i}$$

$$\Rightarrow v_{21} \cdot v_{23} = v^2$$

$$t_{12}^{\perp} \cdot t_{23}^{\perp} = (1-n)(1+n) = 1-n^2$$

$$t_{12}^{\parallel} \cdot t_{23}^{\parallel} = (1-n) \cdot (1+n) = 1-n^2$$

Fázový rozdíl $E^{(1)}$ a $E^{(2)}$, $E^{(2)}$ a $E^{(3)}$ atd je

$$\delta = 2n d_0 \cos \theta_t$$

celková fáze mlva je pak

$$\tilde{E}_t = t_{12} \cdot t_{23} E_0 e^{i\delta_0} [1 + n^2 e^{i\delta} + n^4 e^{i2\delta} + \dots] e^{i(\vec{k} \cdot \vec{r} - \omega t)}$$

v hraně zábrance je součet geometrické řady s koeficientem $q = n^2 e^{i\delta}$

$$\sum q^n = \frac{1}{1-q}$$

$$\tilde{E}_t = \underbrace{\frac{t_{12} \cdot t_{23} E_0 e^{i\delta_0}}{1 - n^2 e^{i\delta}}}_{\tilde{E}_{t0}} e^{i(\vec{k} \cdot \vec{r} - \omega t)}$$

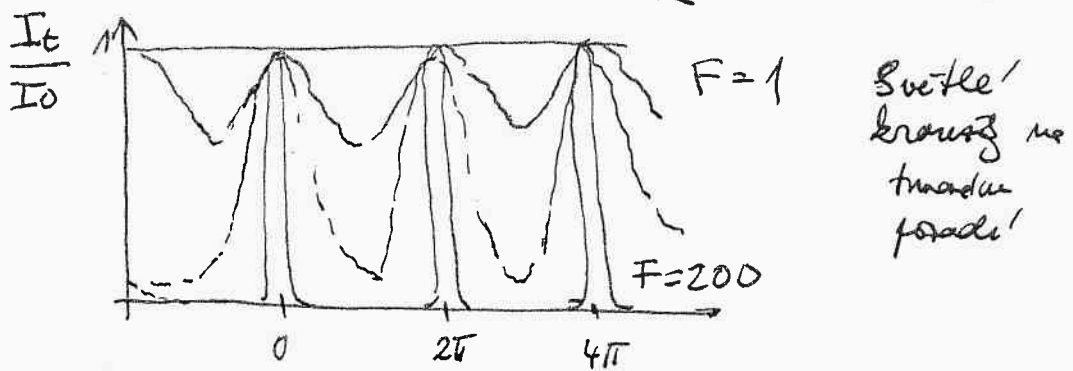
$$I_t \sim \tilde{E}_{t0} \cdot \tilde{E}_{t0}^* = \frac{(t_{12} t_{23})^2 E_0^2}{1 + n^4 - n^2 \underbrace{(e^{i\delta} + e^{-i\delta})}_{2 \cos \delta}} \quad \left(\text{Přička } \frac{1}{2Z} = 1 \right)$$

$$I_t = \frac{(1-n^2)^2 \cdot I_0}{(1-n^2)^2 + 2n^2(1-\cos \delta)} = \frac{(1-n^2)^2 \cdot I_0}{(1-n^2)^2 + 4n^2 \sin^2 \frac{\delta}{2}} = \frac{I_0}{1 + \frac{4n^2}{(1-n^2)^2} \sin^2 \frac{\delta}{2}}$$

Označme $F = \frac{4n^2}{(1-n^2)^2}$ parametrem jímnosti

$$I_t = \frac{I_0}{1 + F \sin^2 \frac{\delta}{2}} \quad I_0 = I_t + I_R$$

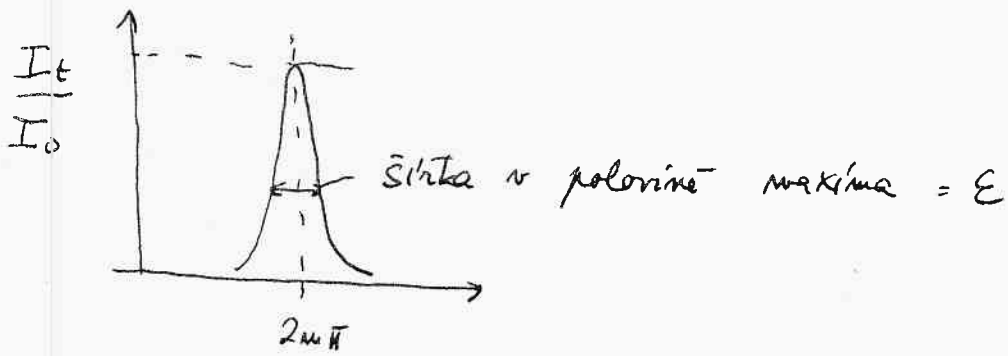
$$\Rightarrow I_R = \frac{F \sin^2 \frac{\delta}{2}}{1 + F \sin^2 \frac{\delta}{2}}$$



Na odraz - tvaruje krouží ne světelný proud!

6

Jemnost Fabry-Perotova interferometru



Fázový rozdíl, kde nastává maximum $\delta = 2m\pi$

Fázový rozdíl, kde nastává minimum $\delta = (2m+1)\pi$

Fázový rozdíl, kde intenzita propuštěného světla klesne na $1/2$ maximální hodnoty

$$\delta = 2m\pi \pm \frac{E}{2}$$

$$\frac{1}{1 + F \sin^2 \frac{E}{4}} = \frac{1}{2}$$

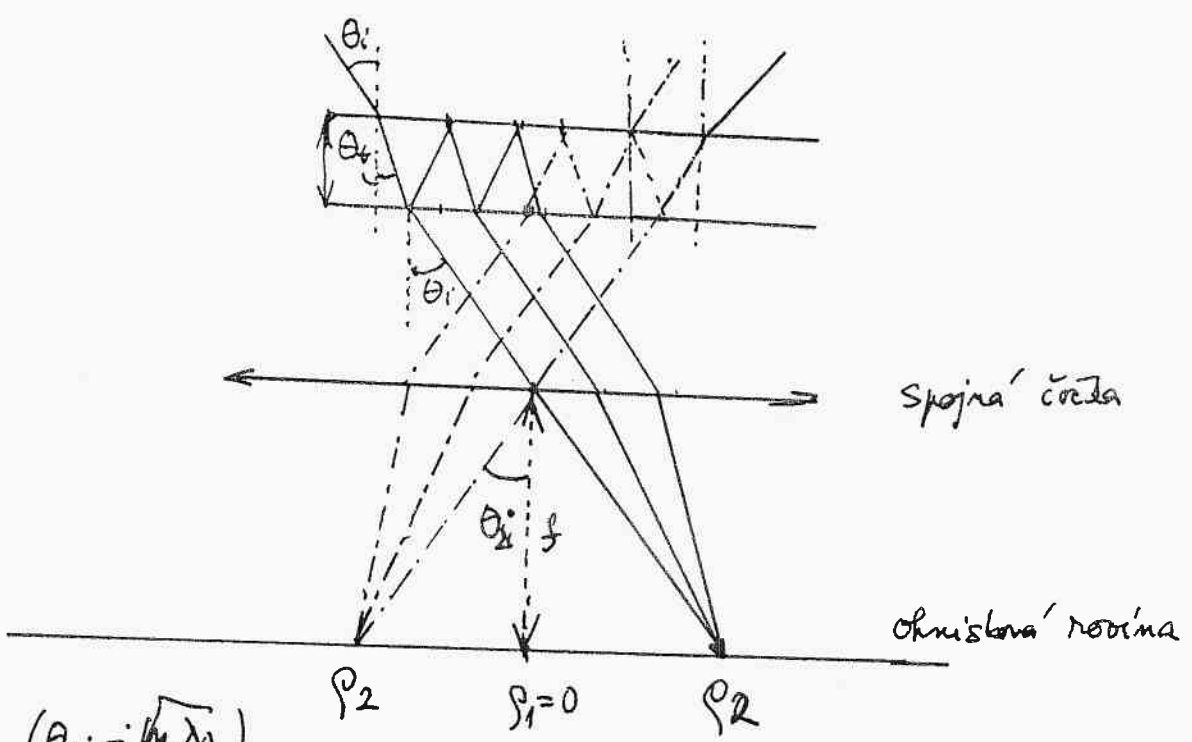
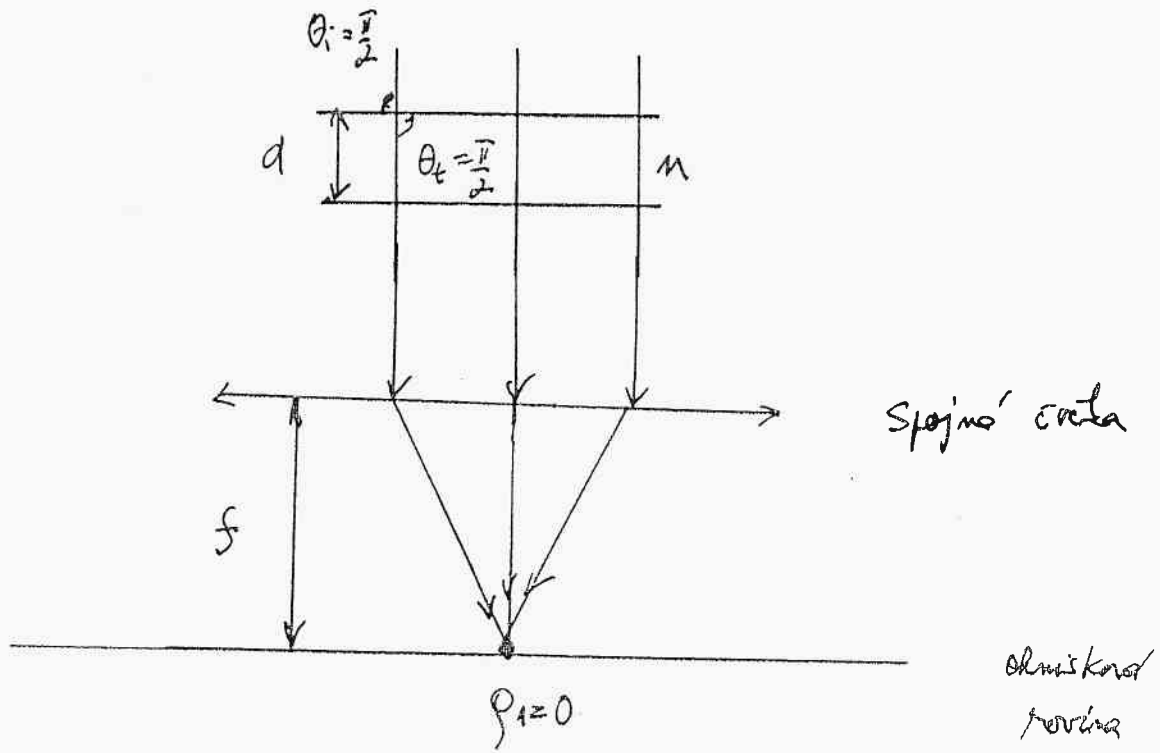
Pro velká F je E malá

$$\sin \frac{E}{4} \approx \frac{E}{4}$$

$$\Rightarrow \frac{1}{1 + F \left(\frac{E}{4}\right)^2} = \frac{1}{2} \Rightarrow E = \frac{4}{\sqrt{F}}$$

Jemnost \mathcal{F} .. Jakrát se polovina
nejde do fázové vzdálenosti mezi
maximy

$$\mathcal{F} = \frac{4\pi}{E} = \frac{\pi\sqrt{F}}{2}$$



$$(\theta_{2i} = \sqrt{\frac{\mu \lambda_0}{d}})$$

$$\tan \theta_{2i} = \frac{P_2}{f}$$

$$P_2 = f \cdot \sqrt{\frac{\mu \lambda_0}{d}}$$

Interferenční kroužky
dane' sklenem θ_i
 \Rightarrow kroužky stejného
sklenice
(Hardengerovy)

Dva lomy' svazku na FB desce o tlouste d a indexu lomu n je $2nd \cos \theta_t$

$2nd \cos \theta_t = m \lambda_0$... podminka vznikl IF maxima

Pro pripad $\theta_t = 0$ (j. i. $\theta_i = 0$) ... kolmy dopad

$2nd = m \lambda_0$... $\rho_1 = 0$

(1. maximum je v ohnisku svetla) (j. || paprsky z FB desky pom stejne vzdal smechedny do ohniska)

$\theta_t = \theta_{2t}$... 2. maximum

$2nd \cos \theta_{2t} = (m-1) \lambda_0$

Predpokladajme θ_{2i} klitko' male, tedy i θ_{2t} male' => pouzijeme aproximaci malych uhlu

$\cos \theta_{2t} = \sqrt{1 - \sin^2 \theta_{2t}} \approx 1 - \frac{1}{2} \theta_{2t}^2$

$\sin \theta_i = n \sin \theta_t$ zakon lomu

$\theta_i \approx n \theta_t \Rightarrow \theta_{2t} \approx \frac{\theta_{2i}}{n}$

$2nd (1 - \frac{1}{2} \theta_{2t}^2) = m \lambda_0 - \lambda_0$

$2nd - nd \theta_{2t}^2 = m \lambda_0 - \lambda_0$ ($m \lambda_0 = 2nd$)

$\lambda_0 = nd \theta_{2t}^2 = \frac{d \theta_{2i}^2}{n^2}$

$\text{tg } \theta_{2i} = \frac{\rho_2}{f}$

$\Rightarrow \theta_{2i} \approx \sqrt{\frac{m \lambda_0}{d}}$

$\Rightarrow \rho_2 = f \text{tg } \theta_{2i}$

Interferometrie

(9)

- Soubor technik, ve kterých se vlny skládají a ze vzniklého interferenčního obrazce (interferogramu) se získávají informace o vlnách, resp. jejich prostřednictvím o fyzikálních veličinách, jež změny rozdíl optických drah skládaných svazků

Youngův pokus ... $m\lambda \sin \theta = m\lambda$ (podmínka maxima)

IF na dielektrické desce $2m\lambda \cos \theta = m\lambda$ $m \in \mathbb{Z}$

Změna l a optická dráha OD o ΔOD , změna se m o Δm .

$$\Delta OD = \Delta m \cdot \lambda$$

→ k posunu interferenčních proužků (žroviček) o 1 řád dojde, změna l se OD o $1 \times \lambda$.

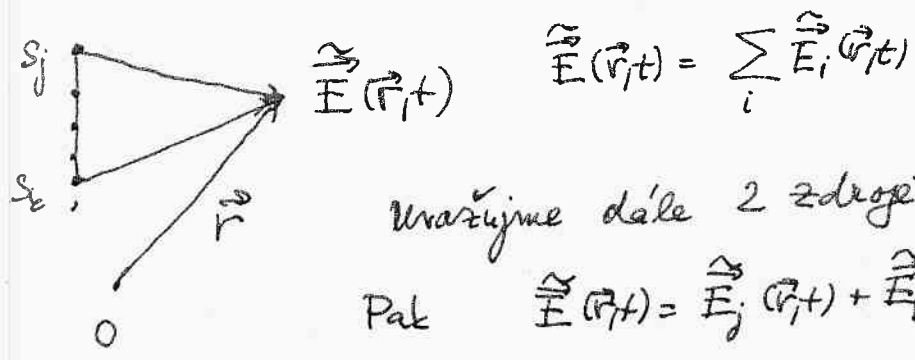
Prohým obem můžeme pozorovat posun maxima nebo minima IF proužků o $1/20$, detektoru až o $1/1000$. V tomto případě může tedy interferometri detekovat $\Delta OD \approx \frac{\lambda}{1000}$

V případě světla $\lambda = 500 \text{ nm} = 5 \times 10^{-7} \text{ m}$ je tedy

$$\Delta OD \approx 10^{-10} \text{ m.}$$

2 Co změna OD ... index lomu n
... geometrická dráha l

Mějme zdroj záření složený z jednotlivých nezávislých bodových zdrojů (10)



Uvažujme dále 2 zdroje - S_j a S_k
 Pak $\vec{E}(\vec{r}, t) = \vec{E}_j(\vec{r}, t) + \vec{E}_k(\vec{r}, t)$

$$I \sim \langle (\vec{E}_j + \vec{E}_k) \cdot (\vec{E}_j^* + \vec{E}_k^*) \rangle_{T_D} \quad T_D \dots \text{dobu odezvy detektoru}$$

$$I \sim \frac{1}{T_D} \int_0^{T_D} (E_{0j}^2 + E_{0k}^2 + E_{0j} E_{0k} e^{i(\phi_j - \phi_k)} + E_{0j} e^{-i(\phi_j - \phi_k)}) dt =$$

$$= E_{0j}^2 + E_{0k}^2 + \frac{2}{T_D} \int_0^{T_D} E_{0j} \cdot E_{0k} \cos(\phi_j - \phi_k) dt$$

Rozdíly $\phi_j - \phi_k$ jsou náhodné, za dostatečnou dobu středně nabudou všech hodnot mezi $(0, 2\pi)$, tj. rov. mají všechny hodnoty $\in (-1, 1)$

$$\int = 0$$

$$\Rightarrow I \sim E_{0j}^2 + E_{0k}^2$$

Výsledná intenzita v \vec{r} je pak součet intenzit jednotlivých nezávislých zdrojů.

Koherece

Koherece je vzájemná souvislost fáz a amplitudy vlnění vycházejících buď z různých míst povrchu zdroje tělesa (zdroje) nebo vlnění vycházejícího z jednoho místa avšak s určitým časovým odstupem.

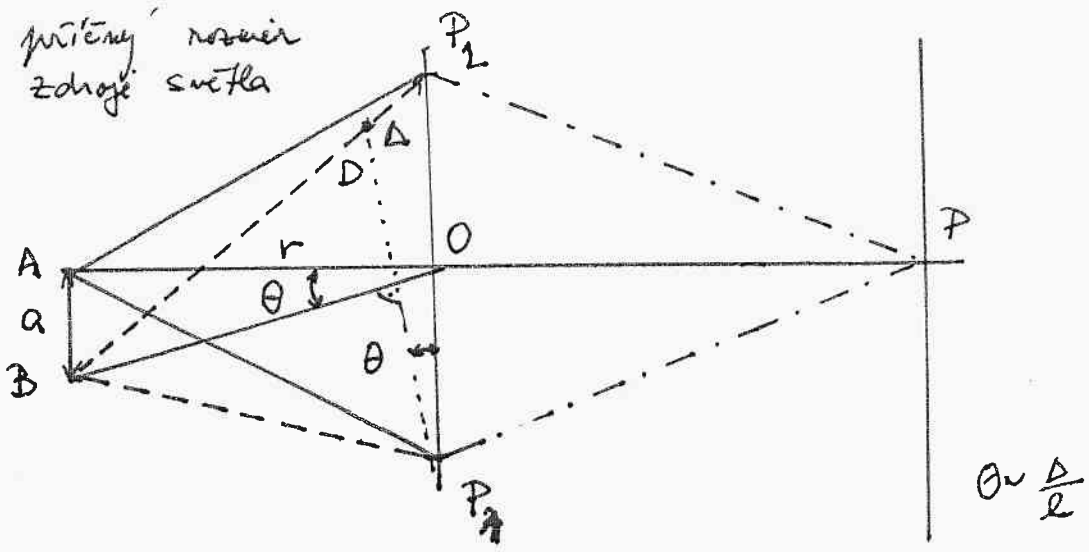
Zdroje vlnění mohou být koherentní, čištění koherentní nebo nekoherentní. Mezi zdroji koherentního vlnění patří především lasery.

Prostorová Koherece

Korelace fáz a amplitudy světelného pole v různých bodech prostoru a ve stejném čase.

Prostorová Koherece zkoumáme pomocí uspořádání analogického Youngova pokusu.

a. přímý rozsvícený zdroj světla



$$\theta \sim \frac{a}{l}$$

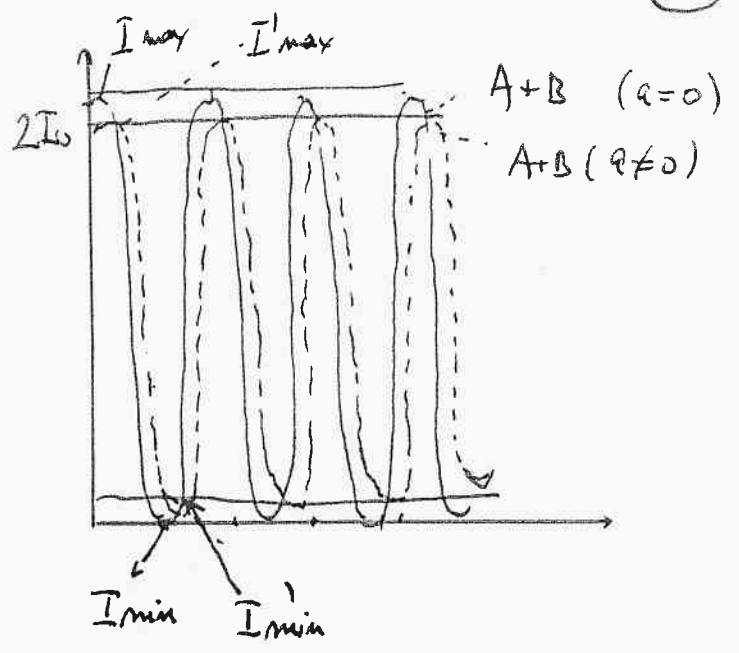
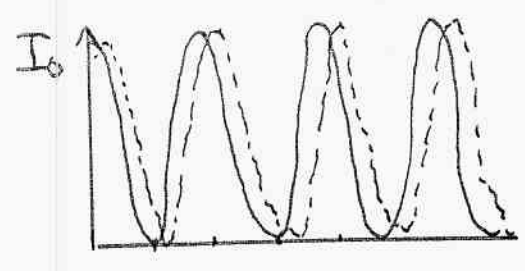
$$(\tan \theta \approx \theta = \frac{a}{l})$$

$$\overline{P_1 P_2} = l$$

$$\overline{OA} = l$$

$$\overline{DP_2} = \Delta$$

$$\overline{BP_2} = \overline{BP_1} + \Delta$$



Viditelnost IF proužku

$$V = \frac{I_{max} - I_{min}}{I_{max} + I_{min}} \quad (a=0)$$

$$V' = \frac{I'_{max} - I'_{min}}{I'_{max} + I'_{min}} \quad (a \neq 0)$$

IF obrazec vyzařovaný bodem B bude mít v bodě P minimum jistěže

Yon-li oba IF obrazce mají sobě posunuty tak, že maximum jednoho je rovné minimumu druhého, IF proužky vymizí! (v dané oblasti prostoru) Světlo v bodech P₁ a P₂ je pak nekoherentní!

$$\Delta = \overline{BP_2} - \overline{BP_1} = \frac{\lambda}{2}$$

$$\theta \sim \frac{a}{r} \quad \theta \sim \frac{\Delta}{l}$$

$$\Rightarrow \Delta = \frac{la}{r} \quad ; \quad \text{pro } \Delta = \frac{\lambda}{2} \text{ je } a_c = \frac{r\Delta}{l} = \frac{r\lambda}{2l}$$

→ to je maximální vzdálenost, aby bylo možno pozorovat interferenci

- l... vzdálenost zkoumaných bodů prostoru
- a... vzdálenost 2 bodových zdrojů (nebo rozměr plošného zdroje)

Vzdálenost l , pro kterou je pale mezi body P_1 a P_2 ještě koherentní před mřížkou psát

$$l_s < \frac{n\lambda}{2\alpha} \approx \frac{\lambda}{\theta}$$

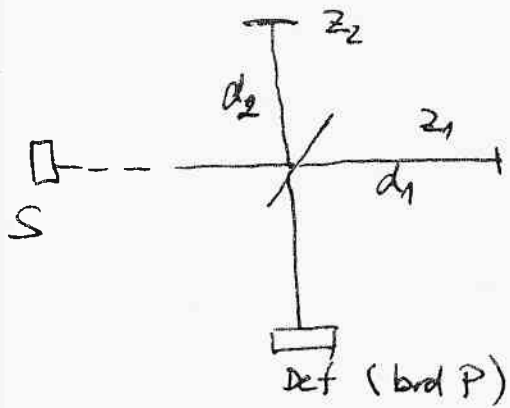
l_s lze zkrátit zkrácením λ nebo zmenšením θ

Podle toho vzdálenost P_1B ještě větší než l_s ,
 IF se opět zlepší (ostrost IF poněkud opět naroste)

Lze udělat, že závislost stupně koherence na
 prostorné vzdálenosti P_1P_2 je stejná, jako
 prostorný průběh intenzity světla na apertuře,
 která svým umístěním a rozměry odpovídá
 ploše zdroje (viz Effort-Zernikova metoda)

Časová (podélná) koherence

- Ke stanovení měry časové koherence se používá dvostranné korekce experimentu
- např. Michelsonův interferometr



V detektorovém prostoru interferují paprsky s dráhovou rozdílem $\Delta l = 2(d_2 - d_1)$

Tj. paprsek 1 s časovým zpožděním τ_1 a paprsek 2 s časovým zpožděním τ_2 .



střední doba mezi skoky τ_0

$$\hat{E}_P(t) = \hat{E}_1(t - \tau_1) + \hat{E}_2(t - \tau_2)$$

$$I_P \sim \langle E_P E_P^* \rangle = \langle E_1(t - \tau_1) \cdot E_1^*(t - \tau_1) \rangle + \langle E_2(t - \tau_2) \cdot E_2^*(t - \tau_2) \rangle + \langle E_1(t - \tau_1) E_2^*(t - \tau_2) \rangle + \langle E_2(t - \tau_2) E_1^*(t - \tau_1) \rangle$$

$$= I_1 + I_2 + 2 \text{Re} \langle E_1(t - \tau_1) \cdot E_2^*(t - \tau_2) \rangle$$

Velikost interferenčního úlovku je doba koherence měří polí obou směrky ~ bodě P.

Dále zavádíme $\tau = \tau_1 - \tau_2$ (pro IF je podstatný rozdíl obou časových zpoždění, měřit jejich absolutní hodnoty).

$$t_1 = t - \tau_1$$

$$t = t' + \tau_1$$

(15)

$$t - \tau_2 = t' + \tau_1 - \tau_2$$

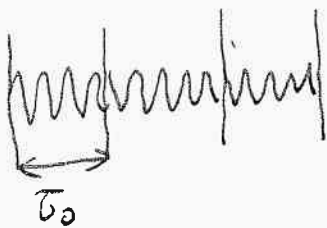
$$\langle \tilde{E}_1(t - \tau_1) \cdot \tilde{E}_2^*(t - \tau_2) \rangle = \langle E_1(t) E_2^*(t + \tau) \rangle =$$

$$= \langle E_1(t) E_2^*(t + \tau) \rangle \quad \text{a podobně v ostatních} \\ \text{členech}$$

Výsledek $\langle E_1(t) E_2^*(t + \tau) \rangle = \tilde{I}_{12}(\tau)$ nazýváme
korelační funkcií.

Výsledek $\tilde{I}_{12}(\tau) = \frac{\tilde{I}_{12}(\tau)}{\sqrt{I_1 I_2}}$ pak nazýváme normovanou
korelační funkcií

Uvažujme nyní ještěstředně model statistického
chování světla



Vždy to bude τ_0 nestane
skok fázě

Podle parametr τ (zprávně měří srážky
vzniklych dělením amplitudy)

Podle $\tau > \tau_0$... a interference nedojde, IF člen
se zruší středováním přes dlouhý časový
interval.

Dva interferující srážky v bodě P
můžeme popsat

$$\tilde{E}_1(t) = E_0 e^{i(\varphi(t) - \omega t)}$$

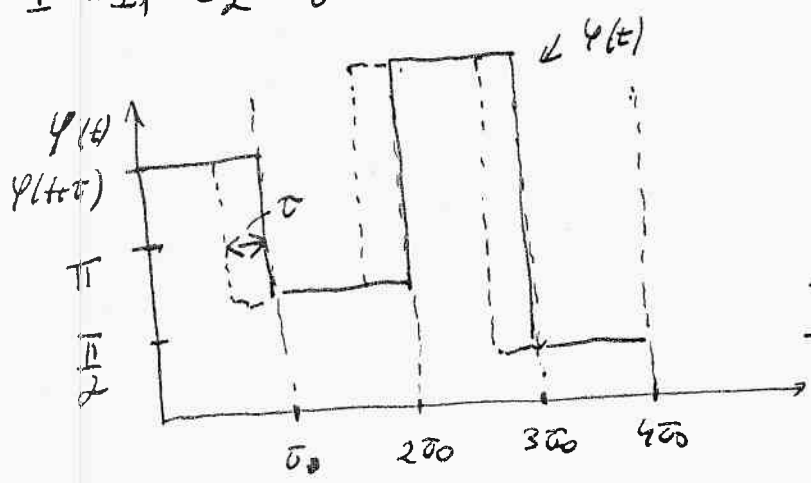
$$\tilde{E}_2(t) = E_0 e^{i[\varphi(t + \tau) - \omega(t + \tau)]}$$

$$\tilde{I}_{12} = \frac{\langle \tilde{E}_1(t) \cdot \tilde{E}_2^*(t) \rangle}{I_2} = \frac{E_0^2}{I} \cdot e^{i\omega\tau} \langle [e^{i(\varphi(t) - \varphi(t + \tau))}] \rangle$$

Paž p $\tilde{j}_{12}(\tau) = \frac{\tilde{I}_{12}(\tau)}{\sqrt{I_1 I_2}} = \frac{\tilde{I}_{12}(\tau)}{I} =$

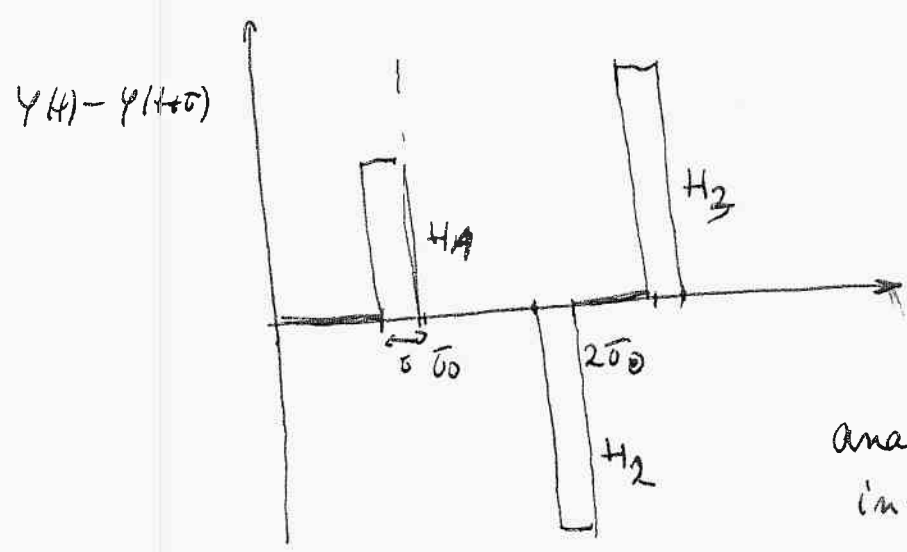
$= \frac{1 E_0 R}{I} \cdot e^{i u \tau} e^{i [\varphi(t+\tau) + \varphi(t)]}$

$I = I_1 = I_2 = E_0^2$ (neuvádné konstanta $\frac{1}{2} E_0 c$)



τ p. zprádné svařku (vzájemně)

— $\varphi(t)$
 - - - $\varphi(t+\tau)$



$\varphi(t) - \varphi(t+\tau) = 0$
 $0 < t < \tau_0 - \tau$

$\varphi(t) - \varphi(t+\tau) = +H_1$
 $\tau_0 - \tau < t < 2\tau_0$

analogicky pro další intervaly

$H_1 \rightarrow H_i, i=1, 2, \dots$

H_i se mění mělně

Zavedeme $T = N \tau_0$ a provedeme τ_0 sone' středovánu' přes T

$\tilde{I}_{12}(\tau) = e^{i u \tau} \frac{1}{T} \int_0^T e^{i [\varphi(t) - \varphi(t+\tau)]} dt$

$$\tilde{f}_{12}(\tau) = e^{i\omega\tau} \frac{1}{N\tau_0} \left[\int_0^{\tau_0-\tau} e^{i\omega t} dt + \int_{\tau_0-\tau}^{\tau} e^{iH_1} dt + \dots \right] = \quad (17)$$

$$= e^{i\omega\tau} \cdot \frac{1}{N\tau_0} \left[N(\tau_0-\tau) + \tau \sum_{k=1}^N e^{iH_k} \right]$$

H_k náhodné, $\cos H_k$,
 $\sin H_k$ nabývají se
stejnou PP kladných
a záporných hodnot
 $\Rightarrow \sum_{k=1}^N e^{iH_k} = 0$

$$\Rightarrow \tilde{f}_{12}(\tau) = e^{i\omega\tau} \frac{(\tau_0-\tau)}{\tau_0}$$

$$|\tilde{f}_{12}(\tau)| = 1 - \frac{\tau}{\tau_0}$$

$$\text{Re} \{ \tilde{f}_{12}(\tau) \} = \left(1 - \frac{\tau}{\tau_0}\right) \cos \omega\tau$$

($= \sqrt{I_1 I_2}$ pro $I_1 = I_2$)

$$I_P = I_1 + I_2 + 2 \text{Re} \tilde{f}_{12}(\tau) \cdot I =$$

$$= 2I + 2I \left(1 - \frac{\tau}{\tau_0}\right) \cos \omega\tau$$

$$I_{\max} = 2I + 2I \left(1 - \frac{\tau}{\tau_0}\right)$$

$$I_{\min} = 2I - 2I \left(1 - \frac{\tau}{\tau_0}\right)$$

Viditelnost interferenčních proušků

$$V = \frac{I_{\max} - I_{\min}}{I_{\max} + I_{\min}} = \frac{4I \left(1 - \frac{\tau}{\tau_0}\right)}{4I} =$$

$$= 1 - \frac{\tau}{\tau_0} = |\tilde{f}_{12}(\tau)|$$

\Rightarrow Absolutní hodnota normované korelační
funkce má fyzikální význam = je sama
viditelností interferenčních proušků.